

# 對向噴出焰 燃燒方式에 依한 NO<sub>x</sub> 生成低減과 燃燒特性 研究(I)<sup>1)</sup>

A Study on NO<sub>x</sub> Pollutant Reduction and Combustion Characteristics of  
Opposed-Jet-Flame Combustion Process (I)

趙 慶 國\* 鄭 仁 傑\* 鄭 景 哲\*\*  
K. K. Cho, I.S. Jeung, K.S. Jeong

## ABSTRACT

Combustion process or progress and NO<sub>x</sub> pollutant reduction behavior of opposed-jet-flame combustion process in a dual-prechamber-divided-combustion-chamber were investigated by using high speed schlieren photography, chamber pressure measurement, and diluted NO<sub>x</sub> sampling technique.

Results show that opposed-jet-flame combustion process can motivate considerably higher chamber peak pressure and significant lower NO<sub>x</sub> emission than any other combustion processes studied simultaneously as the comparison experiments. The combustion process of opposed-jet-flames is suggested as so-called 'Internal exhaust gas recirculation' process.

## 記 號

것으로 받아들여지고 있다.<sup>1)</sup>

$A_{ori}$  : 오리피스 斷面積



$D$  : 오리피스 直經



$V_m$  : 主燃燒室容積

또 過稀薄混合氣의 燃燒時 NO 生成率은 다음  
과 같이 表示된다.<sup>2)</sup>

$V_p$  : 副燃燒室容積

$W$  : 噴出速度

( )<sub>c</sub> : 臨界狀態에 해당되는 量

$$\frac{d}{dt} [NO] = 6 \times 10^6 T_{eq}^{1/2} \exp(-69060/T_{eq})$$

## 1. 序 論

대부분의 燃燒器로부터 排出되는 질소산화물의 主種을 이루는 것은 Thermal NO이며, 그 生成은 다음의 Zeldovich反應式에 따르는

$$\cdot [O_2]_{eq}^{1/2} [N_2]_{eq}^{1/2} \text{ moles/cm}^3 \cdot \text{sec} \quad (3)$$

式 (3)에 나타나듯이 NO 生成率은 火焰面後面의 燃燒가스 溫度에 매우 민감하고, 溫度가

1. 本 研究의 一部內容은 1987年 7月 7日~7月 10日 開催된 第10次 國內外科學技術者學術大會에서 發表 된 바 있었음.

\* 正會員, 서울大學校 航空工學科

\*\* 서울大學校 航空工學科

1,800°K 以下로 유지되면 Thermal NO의生成은 매우 낮은 수준이 된다.<sup>3)</sup> 그런데 위의反應速度는 燃燒反應과 比較하면 매우 느리기 때문에 燃燒反應과는 別個로進行되는 非平衡化學反應이며, 대부분의 NO는 火焰面後面에서生成된다.<sup>4)</sup> 그러므로 燃燒系가 高溫狀態로 유지되는 時間이 길면 NO의 生成量은 增加하는 傾向을 보인다.<sup>5)</sup>

NO<sub>x</sub>의 生成低減을 爲해 現在까지 研究되어 온 方式들은 主로 直接的인 方法에 의하여 火焰面의 溫度를 낮추는 것이다.<sup>6)</sup> 그런데 NO<sub>x</sub> 生成低減을 目的으로 火焰面의 溫度를 강화시키면 HC, CO 등의 生成增加와 燃料經濟性의 悪化를 수반하게 되며, 火焰面의 溫度를 上昇시키면 HC, CO 등의 生成은 抑制되고 燃料經濟性의 向上은 可能하지만 NO<sub>x</sub>의 生成은 增加하는 서로 배치되는 傾向이 나타난다.<sup>7)</sup> 그러므로 만일 燃燒器의 效率을 低下시키지 않으면서 NO<sub>x</sub>의 生成을 저감시킬 수 있으면 매우 바람직한 燃燒方式이 될 것이다.

定積燃燒器의 경우에는 燃燒效率을 燃燒最高壓力으로 대신하여 表現할 수 있는데, 本研究에서는 著者들이 수행한 바 있었던 以前의 研究를 통하여 燃燒最高壓力의 上昇이 可能한 것으로 確認된 分割定積燃燒器<sup>8)</sup>를 利用하여 對向噴出焰 燃燒方式의 燃燒特性과 이 方式에 있어서의 NO<sub>x</sub> 生成에 관하여 調査하고 他燃燒方式에 있어서의 結果와 比較한 他研究結果와도 檢討하여 對向噴出焰 燃燒方式의 有用性을 評價하고자 한다.

## 2. 實驗裝置 및 實驗方法

### 2-1 燃燒室

全體的으로는 四角柱를 分割한 形態로 中央의 主燃燒室과 左右에 位置한 2個의 副燃燒室로 構成되어 있다. 主燃燒室과 副燃燒室은 圓形의 orifice를 通하여 연결되어 있다. 主燃燒室의 體積( $V_m$ )은 375cc(50×50×150 mm)이고 副燃燒室의 體積( $V_p$ )은 主燃燒室體積의 0~33%로 變化가 可能하며, 오리피스의 直徑

(D)은 0~20mm로 變化 可能하다. 燃燒室의 材質은 Aluminium 2024이며 燃燒室의 前後面에 設置된 유리창(두께 19mm)을 통하여 火焰傳播의 可視化가 可能하다.

本實驗에서는 副燃燒室의 크기가  $V_p/V_m = 0.15, 0.20, 0.25, 0.30$ 인 4種類와 오리피스  $D = 3.8, 5, 7, 10\text{ mm}$ 의 4種類를 組合하여 使用한다. 양부연소실의 끝부분에는 混合氣의 點火를 위한 點火플러그가 設置되어 각각의 點火裝置(C. D. I.)에 연결되어 있다. 主燃燒室과 副燃燒室 벽면에는 燃燒室 壓力測定素子와 가스吸入 및 排出用 밸브가 設置되어 있다(其他實驗裝置의 상세한 内容은 參考文獻(8)을 參照하도록 한다).

### 2-2 燃燒方式

實驗에 利用된 燃燒器의 副燃燒室 利用形式에 따라 主燃燒室 燃燒方式, 單一副燃燒室 燃燒方式 및 對向 副燃燒室 燃燒方式으로 區分한다. 左右의 副燃燒室을 閉鎖함으로써 通常의 燃燒方式이라고 할 수 있는 主燃燒室 燃燒方式의 實驗을 行함으로써 主燃燒室內의 火焰傳播過程이 層流 火焰傳播임에 反하여 副燃燒室 燃燒方式의 實驗結果가 亂流火焰傳播의 点으로 두 가지 크게 大別된 實驗結果를 比較할 수 있도록 한다.

單一副燃燒室 方式은 左右 한 個의 副燃燒室만을 使用한 경우이며, 對向 副燃燒室 方式은 左右의 副燃燒室 모두를 使用한 것으로 각 副燃燒室로부터 噴出되는 噴出火焰이 主燃燒室內에서 충돌하게 된다. 主燃燒室 燃燒方式의 경우는, 다시 한 쪽 끝에서만 點火하는 單一點火方式과 양쪽 끝에서 同時に 點火하는 二重點火方式을 擇하여 傳播火焰이 燃燒室 central에서 충돌하게 함으로써 單一副燃燒室 燃燒方式과 對向副燃燒室 燃燒方式의 두 경우에 對應하도록 하였다. 이 중에서 對向副燃燒室에서 噴出되는 火焰이 主燃燒室의 燃燒에 關係하므로 이때의 燃燒方式을 對向 噴出焰燃燒方式이라고 稱한다.

## 2-3 豫混合氣와 排氣ガス 稀釋

可燃性混合氣로는 純度 99.9%의 프로판과 건조공기를豫混合하여 使用하며, 混合氣 랭크내에서 팬에 의하여 교반을 함으로써 時間變化에 따른豫混合氣의 局部의 混合濃度의 不均一性 發生原因을 제거한豫混合氣製作裝置를 利用한다.

燃燒가 終了되면 燃燒排氣ガス는 NO<sub>x</sub>有害生成物을 分析하기 위하여 NO<sub>x</sub>分析機의 測定範圍(0~500 ppm)와 測定에 所要되는 適正의 試料流量(1 liter/min)에 合當하게 不活性인 아르곤가스로 稀釋하여 分析한 後 稀釋比로 逆算하도록 한다.

## 2-4 實驗方法

燃燒室內에 均一한豫混合氣를 大氣壓狀態로 충전하고, 유동이 정지된 狀態에서 點火하여 實驗을 시작한다. Fig.1은 實驗裝置의 계통도이다. 먼저 高速度 카메라(日本 Hitachi, 16HM)로 摄影을 시작하여 設定된 摄影速度(約 6,000 pictures/sec)에 도달하면, 同期回路에 의하여 펄스가 發生한다. 이 펄스에 의해 C. D. I.가 동작하여 副燃燒室內의 混合氣에 點火된다. 同時に 이 펄스에 의하여 同期된 小型電子計算機(美國 DEC, PDP-11/23)는 壓電形壓力測定素子(美國 PCB, 101 A06)에 의하여 測定된 燃燒室 内部 平均壓力을 A/D 變換하여 記憶한다.

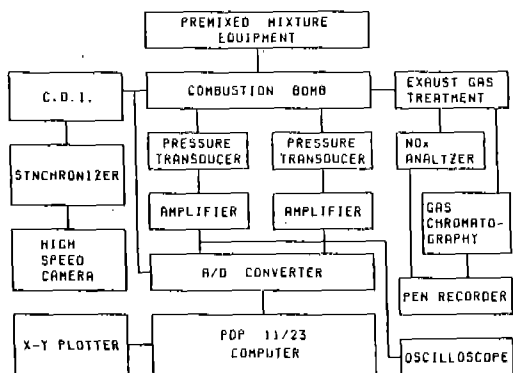


Fig.1 Schematic Diagram of Experimental Equipments

燃燒가 終了되면 真空의 試料채취병(2liter容量)에 燃燒排氣ガス를 채취하고 아르곤가스로 稀釋하여 化學發光法을 應用한 NO<sub>x</sub>分析機(日本 Yanaco, ECL-77 A)에 의해 分析하고 그 結果는 팬레코더에 記錄한다.

每實驗은 再現性의 檢定을 위하여 同一條件下에서 10回 이상 實驗하여 그 平均值를 資料로 擇하였다.

## 3. 實驗結果 및 檢討

### 3-1 主燃燒室 燃燒方法

主燃燒室 燃燒方式에 있어서 層流火焰傳播過程의 슬리렌 寫眞의 한 예를 Fig.2에 보인다. Fig.2(a)는 單一點火에 의한 것으로 初期의 火焰傳播는 中央部에서의 傳播가 벽면쪽에서의 傳播에 比하여 빠르게 進行된다. 약 20 msec 경과하면, 燃燒室 길이의 약 0.7倍되는 位置에서 火焰面이 벽에 닿게 되고<sup>9)</sup>. 그 후 火焰中央部는 未燃gas의 壓縮으로 因해 形成된 流動場에 의하여 火焰面이 全般的인 進行方向과 反對로 이동하고, 벽면 가까운 部分에서는 계속적으로 火焰傳播가 이루어져서 全體的인 火焰形態는 뒤집힌 모양이 되고 여기에 미세한 셀構造가 나타났다. 이것은 전형적인 툴립火焰(tulip flame) 形態이며 他研究結果와도 일치하는 現象이다.<sup>10,11)</sup> 그 후에는 火焰이 初期에 比해 느린 速度로 傳播하여 나머지 30%를 傳播하는데 以前의 70%를 傳播하는데 소요된 時間의 約 2倍가 所要된다.

Fig. 2(b)는 二重點火한 경우의 것으로서, 初期段階에서는 양끝에서 傳播하는 火焰面의 形態가 單一點火한 경우와 같지만, 時間이 경과함에 따라서 單一點火의 경우와 比較할 때 火焰進行 方向의 벽면 부근에서는 더 빨리 傳播하고 中心軸 부근에서는 늦게 傳播하는 形態를 나타낸다. 火焰傳播가 약 90% 進行되었을 때 中心軸 부근에서보다 벽면 부근에서의 火焰傳播가 빨라지기 시작하는데, 單一點火의 경우와는 달리 火焰面이 뒤집히지 않은 狀態에서 미세한 셀構造가 나타난다. 또한 火焰傳播는 單一點火에서와 같이 느려지지 않고 火

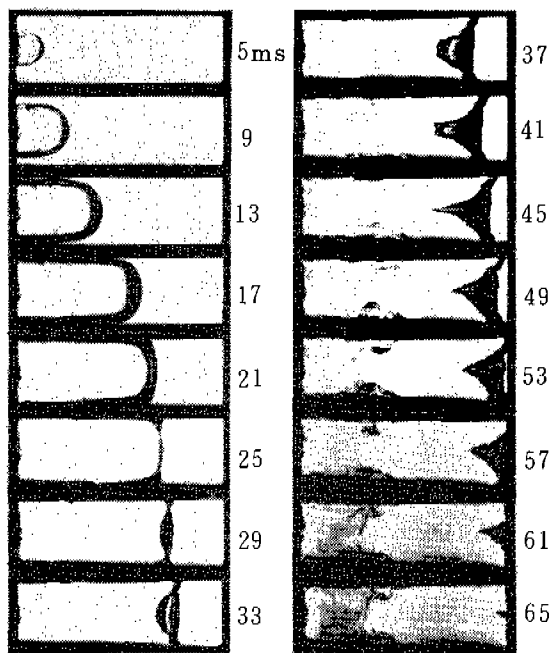


Fig. 2 (a)

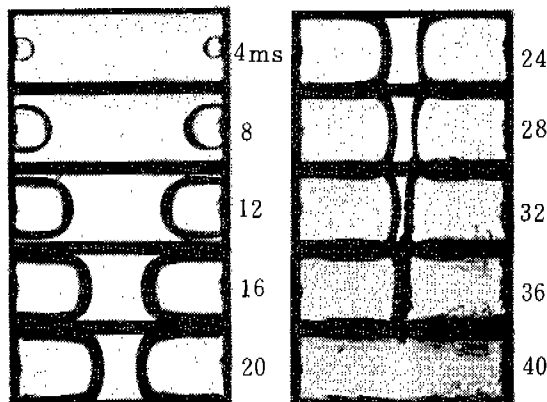


Fig. 2 (b)

Fig. 2 Typical High Speed Schlieren Photographs of Laminar Flames Propagating in Main Chamber; Mixture Ratio = 3.8%  
(a) Single Spark (b) Dual Spark

焰面이 서로 만나게 되어 残留未燃가스를 燃燒시키면서 終了된다.

Fig. 3은 Fig. 2에 해당되는 경우의 燃燒室內平均壓力 上昇曲線을 表示한 것이다. 二重點火한 경우의 壓力增加 시작시기가 單一點火의 경우보다 빠르고 더 높은 最高壓力를 나타내

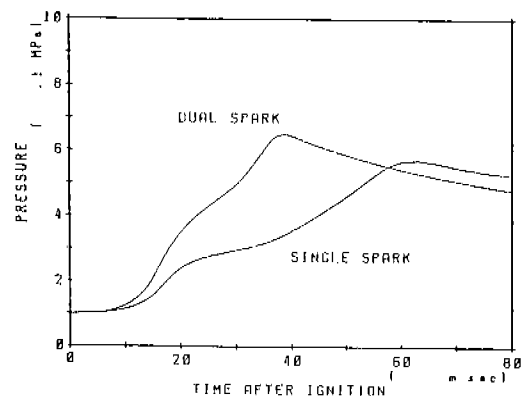


Fig. 3 Pressure History of Laminar Flames Propagating in Main Chamber; Mixture Ratio = 3.8%  
(a) Single Spark (b) Dual Spark

는 것은 슬리렌寫眞에 있어서 燃燒完了時間이 二重點火 경우가 短縮된 것으로부터 쉽게理解될 수 있다. 그림에서 壓力이 上昇하기 시작한 이후 壓力의 增加率이 雖화되는 時期는 슬리렌寫眞에 있어서 火焰面不安定構造가 나타나며 傳播速度가 減少되는 時期와 일치하고 있다. 또 最高壓力을 指示하는 時期는 슬리렌寫眞에서 燃燒가 終了되는 時期와 일치됨을 보이고 있어 總燃燒時間은 點火時期로부터 燃燒最高壓力을 指示하는 時期까지의 時間으로 定義하며, 燃燒最高壓力, 總燃燒時間, NO<sub>x</sub>生成量, 燃燒方式間의 相互關聯性을 表示하도록 한다. 單一點火 경우의 燃燒最高壓力이 二重點火 경우에 비하여 낮게 나타나는 것은 거의 같은 時期에 不安定火焰構造가 나타나지만 그후 燃燒終了時間이 相對的으로 길기 때문에 燃燒室벽으로의 冷却에 의한 熱損失이 많은 것에 기인한다.

프로판-空氣體積混合比를 變化하여 實驗하여 各混合比에 따른 燃燒最高壓力과 總燃燒時間을 Fig. 4와 Fig. 5에 각각 表示한다. 單一點火 및 二重點火 두 경우 모두 炭化水素系燃料가 一般的인 特徵으로 나타나는 當量比 1.1에 해당되는 混合比 4.4%인 경우 最大燃燒壓力과 最小總燃燒時間이 나타났다.<sup>12)</sup> 同一한 混合比에 대하여 二重點火한 경우가 單一

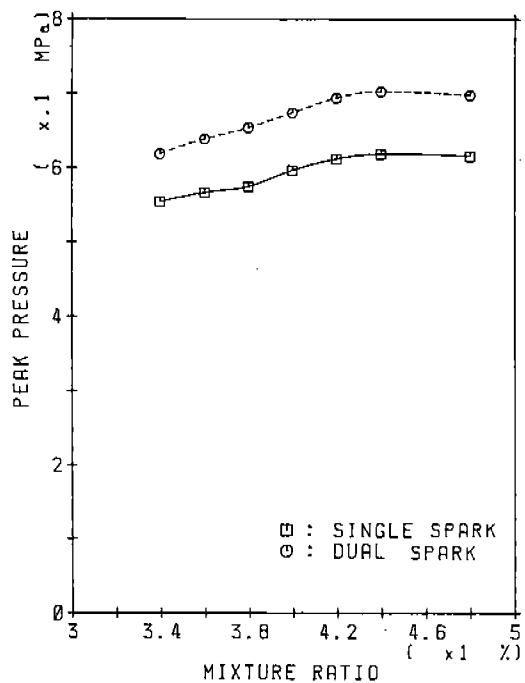


Fig. 4 Combustion Chamber Peak Pressure of Laminar Flames

點火한 경우보다 燃燒最高壓力이 約 11~14% 增大되었고 總燃燒時間은 約 40%정도 短縮되었다. 이것은 燃燒繼續時間을 短縮시키면 燃燒室벽으로의 전열 얻손실을 減少시켜 燃燒室平均溫度가 上昇되기 때문에 燃燒室壓力이 上昇되는 것이다. 따라서 一般的으로 燃燒室平均溫度는 燃燒室壓力으로 대치하여 考慮할 수 있어 NO<sub>x</sub>의 生成은 燃燒室溫度와 直接的으로 關係하고 있으나 燃燒室壓力으로 關聯지어 그 關係를 解析하면 燃燒室壓力이 또한 燃燒器의 效率(혹은 出力에 關聯된 點에서)을 代表하게 되어 直接的으로 燃燒器效率과 NO<sub>x</sub> 生成과의 關係를 究明할 수 있게 된다.

Fig. 6에는 各 混合比에 따른 NO<sub>x</sub> 生成濃度를 나타낸다. 一般的으로 炭化水素燃料의 燃燒에 있어서 알려져 있는 바와 같이 NO<sub>x</sub> 生成에 必要한 平衡酸素濃度와 火焰面 溫度가 均衡을 이루는 混合比 3.8%(當量比 0.95)에서 NO<sub>x</sub> 生成量이 最大가 됨을 알 수 있다.<sup>13)</sup> 二

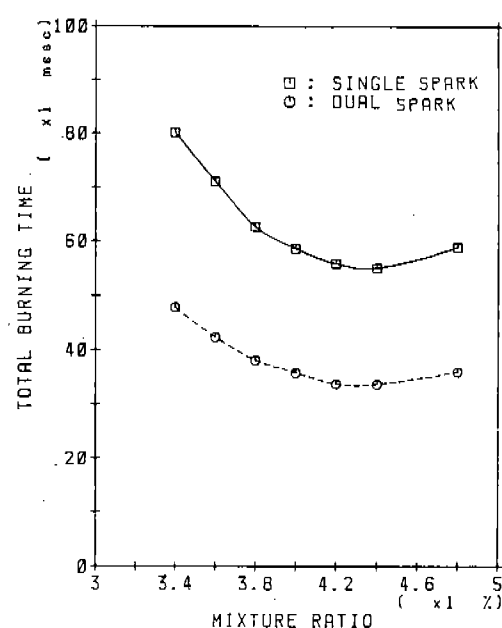


Fig. 5 Total Burning Time of Laminar Flames

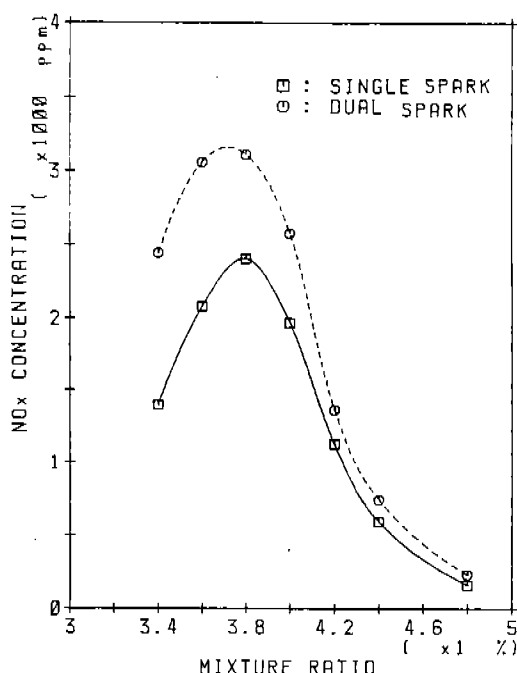


Fig. 6 NO<sub>x</sub> Concentration of Burned Gas of Laminar Flames

重點火한 경우가 單一點火한 경우보다 NO<sub>x</sub>生成이 20~75%增加되는데 이것은 燃燒室壓力이 높아지는 것(즉, 燃燒室平均溫度가 高溫狀態로 維持되고 있는 것) 때문에 비평형 NO<sub>x</sub>生成化學反應時間의 影響보다는 平衡溫度의 影響이支配的인 것으로 料된다. 이結果는 他實驗結果와 綜合하여 再檢討하도록 한다.

### 3-2 副燃燒室 燃燒方式

앞의 主燃燒室 燃燒方式에 의한 實驗結果 NO<sub>x</sub>의 生成은 混合比 3.8%에서 가장 뚜렷한 特徵을 나타내므로 여기서는 混合比 3.8%인 混合氣만을 使用하여 同一한 混合比의 可燃性混合氣의 燃燒에 미치는 副燃燒室體積 및 오리피스의 影響을 調査하였다. 副燃燒室燃燒方式에 있어서 巨視的인 觀點에서 볼 때 主燃燒室內의 火焰傳播形態를 조절하게 된 結果, 外面의으로 나타난 現象中에서 NO<sub>x</sub> 生成에 관하여 主觀하면, NO<sub>x</sub> 生成에 影響을 미치는 重要的因子는 副燃燒室로부터 主燃燒室로 噴出되는 噴出焰의 速度( $W$ )이다. 그런데 이 噴出焰의 速度는 同一한 오리피스에 대해서는 副燃燒室의 크기가 커질수록 同一한 副燃燒室體積에 대하여는 오리피스斷面積( $A_{ori}$ )이 작아질수록 增加하는 傾向이 있고<sup>8)</sup>, 따라서 다음 관계로 表示될 수 있다.

$$W \propto (A_{ori}/V_p)^{-1} \quad \dots \dots \dots \quad (4)$$

그러므로 以後의 實驗結果는 變數( $A_{ori}/V_p$ )에 관하여 分析하도록 한다.

#### 3-2-1 單一副燃燒室 燃燒方式

Fig. 7은  $A_{ori}/V_p$ 變化에 대한 燃燒室 最高壓力과 總燃燒時間을 나타내는데  $A_{ori}/V_p]_c = 5 \times 10^{-3}/cm^2$ 를 特性值로 하여 變化率이 相異한 것을 알 수 있다. 이것은 이 特性值を 基準으로 하여 火焰傳播形態가 相異함에 기인한다.<sup>8)</sup> 그림의 ■, ●은 比較를 위하여 單一點火主燃燒室 燃燒方式에 있어서의 燃燒室最高壓力과 總燃燒時間을 나타내고 있다. 여기서 보면 副燃燒室 燃燒方式를 利用한 경우의 燃燒最高壓

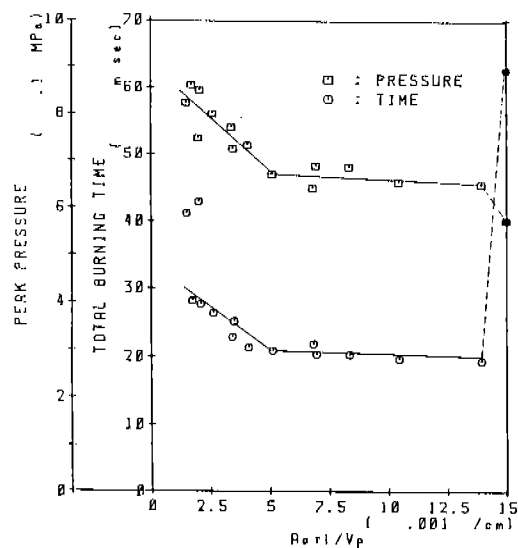


Fig. 7 Combustion Chamber Peak Pressure and Total Burning Time wrt  $A_{ori}/V_p$ ; Single Prechamber, ●, ■ represent total burning time and combustion chamber peak pressure of the case of Main Chamber Combustion with single Spark

力은 主燃燒室 燃燒方式의 그것보다 높은 壓力を 指示하고 있으며, 總燃燒時間은 反對式副燃燒室 燃燒方式의 경우가 짧은 것을 보이고 있다.

그런데  $A_{ori}/V_p > A_{ori}/V_p]_c$  일때는  $A_{ori}/V_p$ 가 變化하여도 壓力은 거의 變化하지 않으나  $A_{ori}/V_p < A_{ori}/V_p]_c$  때는,  $A_{ori}/V_p$ 가 減少함에 따라 燃燒最高壓力은 점차 增加하는 경향이고 總燃燒時間도 燃燒最高壓力과 同一한 경향을 나타내지만 主燃燒室 燃燒方式 경우보다는 短縮됨을 보이고 있다.

Fig. 8은  $A_{ori}/V_p$ 變化에 따른 單一副燃燒室 燃燒方式과 對向副燃燒室 燃燒方式에 있어서의 NO<sub>x</sub> 生成濃度를 나타낸다. NO<sub>x</sub> 生成量도  $A_{ori}/V_p]_c$ 를 基準으로 하여 서로 相異한 경향을 表示하며 이 결과는 Fig. 7과 유사한 경향이다. 그런데 NO<sub>x</sub> 生成量은 Fig. 6과 비교할 때 어떤 方式的 主燃燒室 燃燒方式을 利用한 경우의 NO<sub>x</sub> 生成量보다 增加된 것이다.

이 結果들을 綜合하면 單一副燃燒室 燃燒方

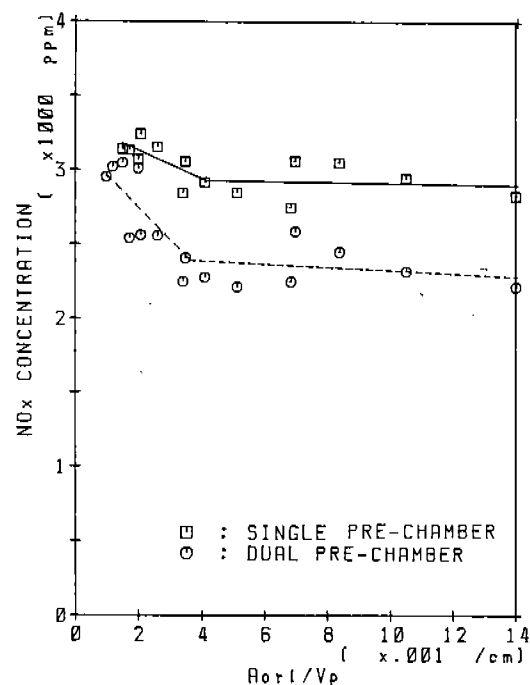


Fig. 8 NOx Concentration of Burned Gas wrt  $A_{ori}/V_p$

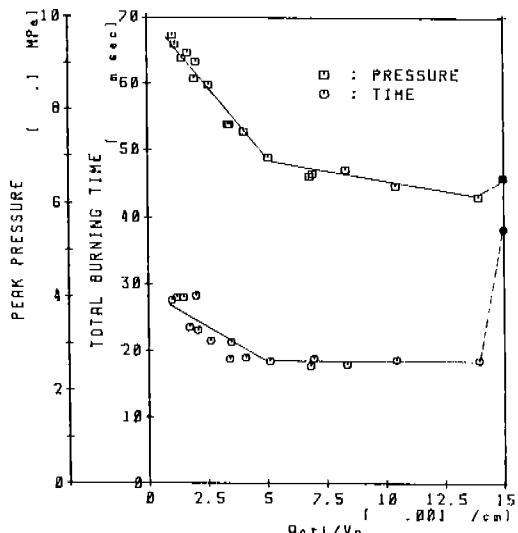


Fig. 9 Combustion Chamber Peak Pressure and Total Burning Time wrt  $A_{ori}/V_p$ ; Dual Prechamber, ●, ■ represent total burning time and combustion chamber peak pressure of the case of Main Chamber Combustion with Dual Spark

式을 이용하면 總燃燒時間은 短縮하고, 燃燒室最高壓力을 上昇시킬 수 있으나 NOx의 生成量 증가는 抑制할 수 없다는 것을 意味한다.

### 3-2-2 對向副燃燒室 燃燒方式

Fig. 9는  $A_{ori}/V_p$ 變化에 대한 燃燒室 最高壓力과 總燃燒時間을 表示한 것이다. 그림중에서 ■, ●는 二重點火 主燃燒室 燃燒方式의 燃燒室 最高壓力과 總燃燒時間을 나타내고 있다. 그림에서  $A_{ori}/V_p < [A_{ori}/V_p]_c$  일 때는  $A_{ori}/V_p$ 가 감소하면 燃燒室 最高壓力은 점차적으로 增大되어 이 경우의 기울이는 單一副燃燒室 燃燒方式의 結果(Fig. 7)보다도 더욱 급하다. 즉 더워 上昇된 燃燒室 最高壓力을 얻을 수 있다는 것을 意味한다. 그리고  $A_{ori}/V_p > [A_{ori}/V_p]_c$  일 때는 거의 一定한 燃燒室壓力이 表示되어 主燃燒室 燃燒方式에 있어서의 燃燒室 最高壓力보다는 다소 減少 혹은 增加된 散布된 값을 指示하나 根本的으로 거의 一定한 값이다.

그런데 總燃燒時間은 항상 主燃燒室 燃燒方式의 경우보다 短縮되며 單一副燃燒室 燃燒方式의 경우와는 거의 同一한 結果이다. 즉 以上으로 對向副燃燒室 燃燒方式을 使用하면 燃燒室 最高壓力을 가장 增大시킬 수 있으며 總燃燒時間은 가장 短縮시킬 수 있어 燃燒出力面에서는 가장 우수한 燃燒方式이라고 肯定할 수 있다.

그리고 Fig. 8에서 보면,  $A_{ori}/V_p$ 變化에 따른 NOx 生成量變化의 경향은 單一副燃燒室의 경우와 유사하지만 生成 NOx 濃度值는 현저하게 減少되었음을 알 수 있고, 結果의로 燃燒室 最高壓力을 最大限 上昇하면서 NOx 生成量은 현저하게 抑制할 수 있다.

### 3-3 燃燒室 最高壓力과 NOx 生成의 關係

定積燃燒器內에서 燃燒할 경우 燃燒室 溫度는 燃燒室 壓力으로 대치하여 表示될 수 있어 燃燒出力を 燃燒室 壓力으로 代表的으로 表示할 수 있으며 이것과 NOx 生成量과의 關係를 유도하면 燃燒出力과 NOx 生成과의 關係에 대한 각각의 燃燒方式의 長短點을 判定할 수 있으므로 以上의 實驗結果를 Fig. 10에 燃燒室

最高壓力과 NOx生成量의關係를 表示한다. 그림에서 일점체선으로 연결된關係는 本研究의結果이며 실선으로 연결된關係는 本研究와類似한方法에 의한實驗結果로 參考文獻(15)의關係를比較를 위하여引用한것이

다. Fujimoto 등<sup>15)</sup>의實驗은 甲烷-空氣混合氣를 원판형燃燒室內에서燃燒하여 구한결과이다.

두가지結果를比較하면主燃燒室燃燒方式에 있어서의燃燒室最高壓力과이경우의NOx生成關係는 本研究나Fujimoto등의result 모두共히거의直線的인傾向이다. 즉燃燒出力を增大시키면NOx生成量도直線的으로增加한다는것을意味한다.

그리고單一副燃燒室燃燒方式을使用하면本研究結果는上昇可能한燃燒室最高壓力範圍內에서는燃燒出力を增大시켜도NOx生成量은거의一定한값을유지하나 本研究의對向副燃燒室燃燒方式에 있어서의NOx生成量보다는增加된값을유지하므로對向副燃燒室燃燒方式보다는열세이다. Fujimoto등의結果를檢討하면燃燒室最高壓力이上昇하면主燃燒室燃燒方式의경우보다NOx生成量은둔화되지만增加하는경향이다.

對向副燃燒室燃燒方式을應用하면本研究

	Present Exp.		Fujimoto et al. 's Exp.	
	Symbol	$V_p/V_m$	Symbol	$V_p/V_m$
Single Pre- chamber	○	30%	*	20%
	□	25%	×	12%
	◇	20%	+	8.25%
	△	15%		
Dual Pre- chamber	●	30%	☒	24%
	□	25%	◇	16.7%
	◇	20%	▲	12%
	▲	15%	☒	8.25%
			☒	6.0%
Main Chamber	⊕	Single spark		
	◆	Dual spark		

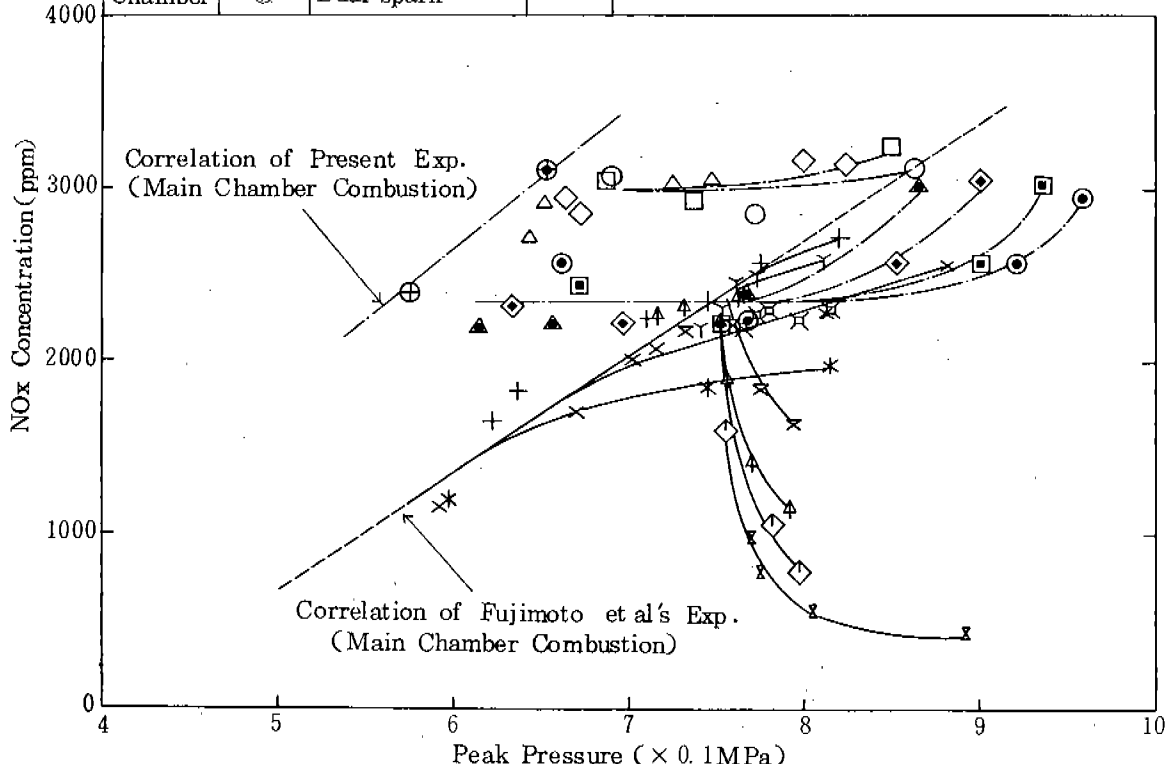


Fig.10 Relationship between NOx Concentration of Burned Gas and Combustion Chamber Peak Pressure

에 있어서는 燃燒室 最高壓力을 上昇시키면 極히 上昇된 壓力 範圍에서는 增加하는 傾向이 있으나 대체적으로 燃燒出力에 대하여 NOx 生成量은 比較的一定한 값을 유지하고 있다. 그리고 이때의 NOx 生成量은 항상 單一副燃燒室 燃燒方式의 경우보다 低下된 値을 指示하고 있다. 이에 反하여 Fujimoto 등의 結果는 參考文獻(15)에서 言及한 바와 같이 一般的인 說明은 不可能하나 燃燒出力を 增加시켜도 NOx 生成量은 逆으로 減少하고 있다. 이 結果에 대한 本 研究와 Fujimoto 등의 현저한 差異는 實驗에서 採擇한 燃燒室形狀이 주된 原因중의 한 가지일 것으로 推測된다.

本 研究에 있어서나 Fujimoto 등의 結果에 있어서나 燃燒出力を 上昇시키면서도 NOx 生成量을 一定量으로 유지하거나 오히려 低下시킬 수 있는 것은 크게 두 가지 과정으로 이해될 수 있을 것이다. 첫째, 對向噴出焰 燃燒方式에 있어서는 副燃燒室로부터 噴出하는 高速의 噴出焰 先端의 剪斷層 流動에 의하여 流入되는 미연가스에 의한 局部의 燃燒溫度降下效果와 둘째, 高速噴出火焰의 流動의 亂流化에 따른 정체시간(residence time) 短縮效果이다. 그러나 아직은 두 가지 效果가 完全한 說明을 分離하여 表現될 수 없으므로 1984年 20次 國際燃燒學會에서 言及된 바 있었던, 對向噴出焰의 충돌에 의한 混合過程이 기연가스와 미연가스와의 混合을 유도하여 소위 燃燒室 内部 排氣gas 再循環(Internal exhaust gas recirculation) 效果라고 지칭하기로 한다.

따라서 本 研究의 結果와 Fujimoto 등의 結果로부터 對向噴出焰 燃燒方式을 應用하면 燃燒出力を 상당한 範圍内에서 增大可能하며 이 경우에도 NOx 排出量은 一定量 水準 以下로 유지시킬 수 있어 궁극적으로 NOx의 부가적인 증가없이 機關出力의 향상을 유출할 수 있는 方案이 될 수 있다.

#### 4. 結論

프로판-공기-혼합기를 定積燃燒室에서 主燃燒室 燃燒方式 및 單一副燃燒室 燃燒方式,

對向副燃燒室 燃燒方式으로 燃燒의 方式을 變更하며 燃燒室 最高壓力과 NOx 排出物量과의 關係를 調査하여 다음과 같은 結論을 얻을 수 있었다.

(1) 對向副燃燒室 燃燒方式(혹은 對向噴出焰 燃燒方式)을 採擇하면 他燃燒方式보다도 燃燒室 最高壓力을 最大限 上昇시켜 燃燒效率을 增大시키면서도 NOx 生成量은 더 낮은 水準에서 유지시킬 수 있어, 燃燒效率 上昇과 NOx 生成抑制의 二重效果가 있다.

(2) 이 現象은 特性變數  $A_{ori}/V_p$  가  $A_{ori}/V_p]_c = 5 \times 10^{-3}/cm$  이하에서 特異한 傾向을 나타내고 있다.

(3) 以上의 現象은 소위 燃燒室 内部 排氣gas 再循環效果에 기인한 것으로 지목된다.

(4) 장래의 차후 研究方向으로 燃燒室 内部 排氣gas 再循環效果를 確認할 수 있는 方案으로서 局部溫度變動, 速度變動 및 이의 相關關係에 관한 지속적인 研究가 要請된다.

#### 後記

本 論文은 1986年度 文教部 自由課題 學術研究助成費의 支援에 의하여 수행되었으며 이에 深厚한 謝意를 表한다.

#### 參考文獻

- Zeldovich, Ya. B., Sadovnikov, P. Ya. and Frank-Kamenetskii, D.A.; "Oxidation of Nitrogen in Combustion," (transl. by M. Shelef) Academy of Sciences of USSR, Institute of Chemical Physics, Moscow-Leningrad, 1947.
- Westenberg, A.A.; "Kinetics of NO and CO in Lean, Premixed Hydrocarbon-Air Flames," Combust. Sci. Technol., 4,59,1971.
- Chigier, N.; "Energy, Combustion and Environment," McGraw-Hill, Inc., p.336, 1981.
- Bowman, C.T.; "Kinetics of Pollutant Formation and Destruction in Combustion,"

- tion," Prog. Energy Combust. Sci., 1,33, 1976.
5. Edwards, J.B.; "Combustion - The Formation and Emission of Trace Species," Ann Arbor Science Publishers, Inc., p.49,1974.
  6. Blumberg, P. and Kummer, J.T.; "Prediction of NO Formation in Spark Ignited Engines - An Analysis of Control Methods," Combust. Sci. Technol., 4,73, 1971.
  7. Lefebvre, A.H.; "Pollution control in Continuous Combustion Engines," 15th Symp. (Intl.) on Combustion, 1169, 1975.
  8. 조경국, 정인석, 정경석 ; "분할연소실내의 대향 분출화염의 연소특성에 관한 연구", 한국자동차공학회지 제 9권 제 4호, 50, 1987.
  9. Leyer, J.C. and Manson, N.; "Development of Vibratory Flame Propagation in Short Closed Tubes and Vessels," 13th Symp. (Intl.) on Combustion, 551, 1971.
  10. Dunn-Rankin, D. and Sawyer, R.F.; "LDA Study of the Unburned Gas Motion Induced by Nonsteady Flame Propagation in a Constant Volume Duct," Lawrence Berkley Laboratory Rep., LBL-19165, 1985.
  11. Wakai, K., Shimizu, S., Hibino, Y. and Tanaka, C.; "The Mechanism of Wedge Shaped Flame Formation in a Closed Vessel," JSME-B part, vol.53-488, 1433, 1987.
  12. Glassman, I.; "Combustion," Academic Press, p.15, 1977.
  13. Heywood, J.B.; "Pollutant Formation and Control in Spark-Ignition Engines," Prog. Energy Combust. Sci., 1,135, 1976.
  14. Klomp, E.D. and Deboy, G.R.; "The Effects of Fluid Motions on Combustion in a Prechamber Bomb" SAE Technical Paper Series 760162, 1976.
  15. Fujimoto, S., Kaneko, Y. and Tsuru, S.; "Possibility of Low-NOx and high-Load Combustion in Premixed Gases," 20th Symp. (Intl.) on Combustion, 61, 1984.